

ANEXOS

ANEXO A

IMÁGENES SATELITALES UTILIZADAS PARA LA INVESTIGACION

Imagen satelital descargada original

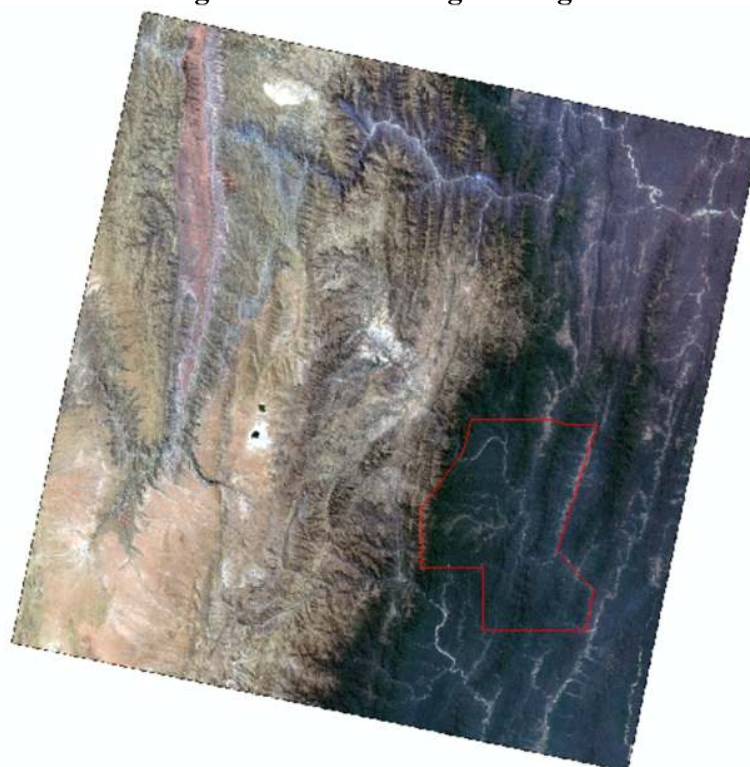
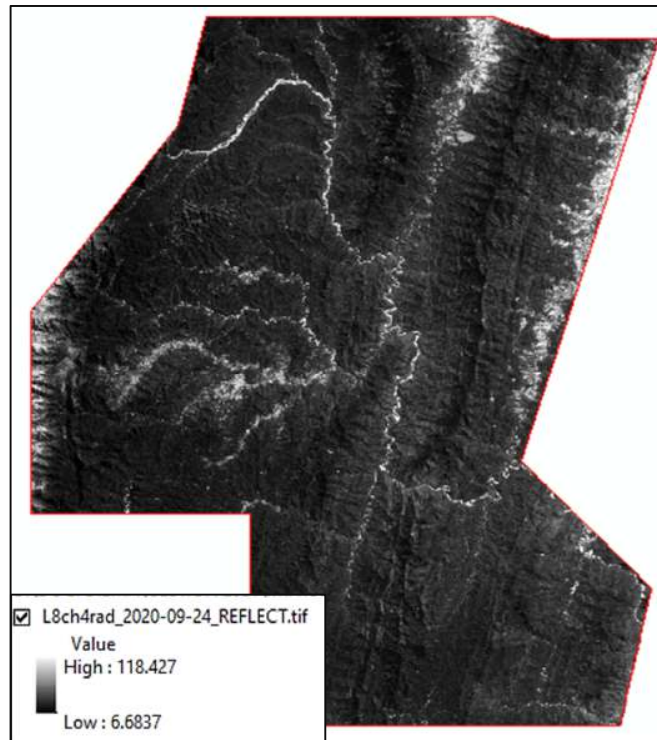


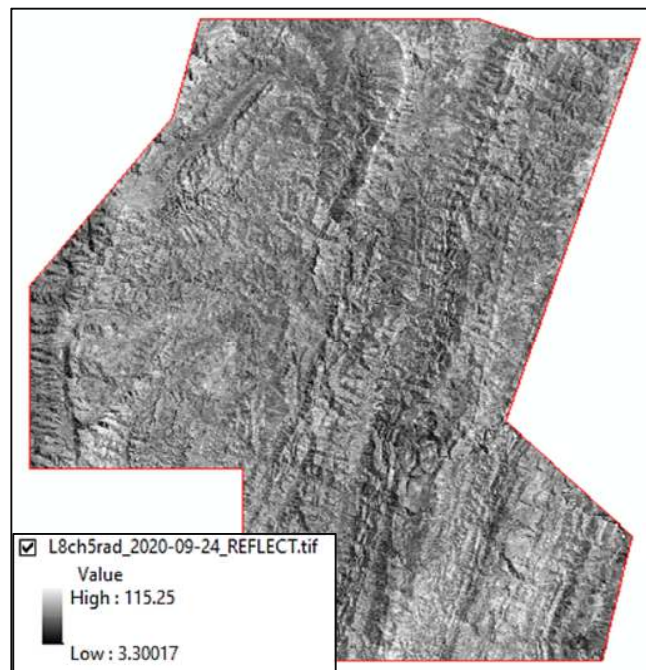
Tabla de información de la imagen satelital

Atributo del conjunto de datos	Valor de atributo
Identificador de producto Landsat	LC08_L1TP_231075_20200924_20201006_01_T1_ANG.txt
Identificador de escena Landsat	LC82310752020268LGN00
Dato de adquisición	2021/07/09
Categoría de colección	T1
Número de colección	1
Ruta WRS	231
Fila WRS	075
Nadir / fuera de nadir	NADIR
Ángulo de inclinación	-0.001
Fecha L-1 generada	2021/07/20
Hora de inicio	2021:190:14: 17:45,9406220
Para el tiempo	2021:190:14: 18:17,7106210
Identificador de estación	LGN
Indicador de día / noche	Día
Cobertura de nubes terrestres	0.03%
Escena cubierta de nubes	0.03 %
Modelo de puntos de control de tierra	529
Puntos de control de Ground	4
Modelo RMSE geométrico (metros)	5.350

CORRECCIÓN DE REFLECTANCIA BANDA 4



CORRECCIÓN DE REFLECTANCIA BANDA 5



CORRECCIÓN RADIOMÉTRICA CON QGIS

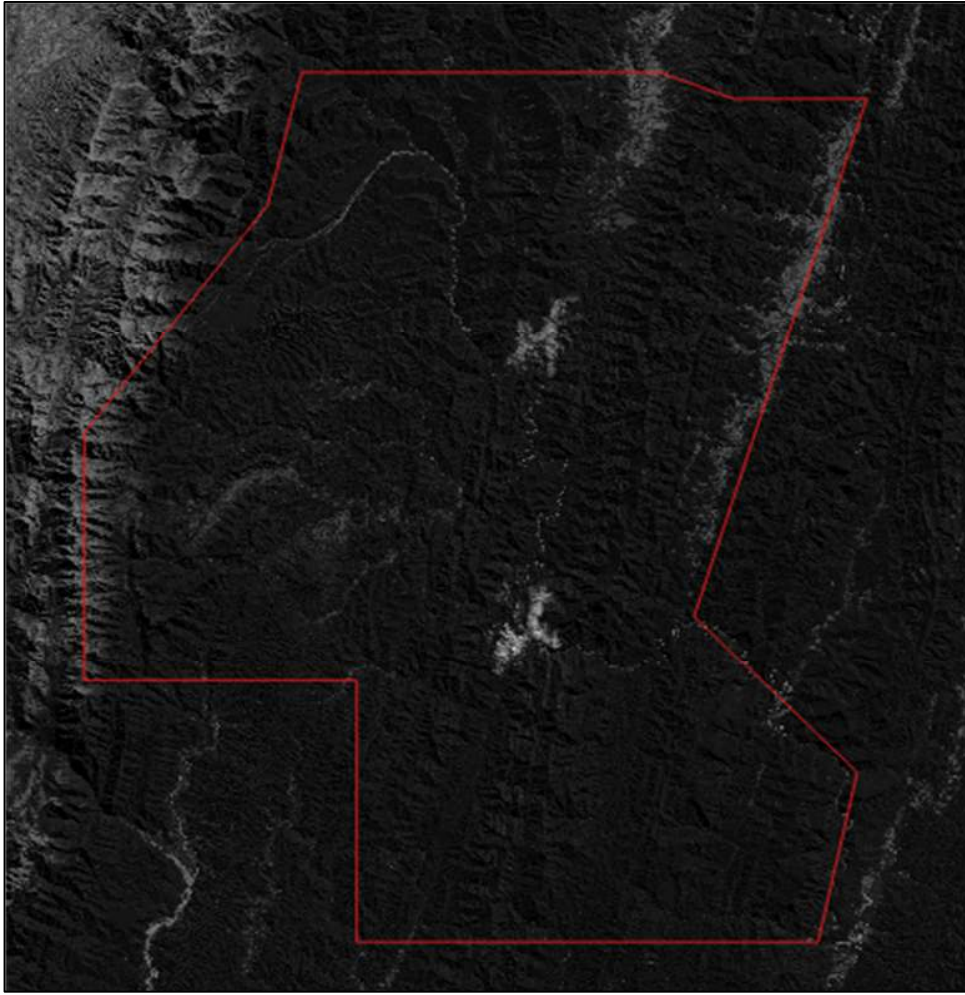


TABLA DE CARACTERÍSTICA DE LAS IMÁGENES LANSAT 8

Sensor	Bandas	Nombre de las bandas	Longitud de onda (µm)	Resolución Espacial (m)	Aplicaciones de banda
OLI	1	Costera (Coastal)	0.43 - 0.45	30	Estudios costeros y de aerosoles
OLI	2	Azul	0.45 - 0.51	30	Cartografía batimétrica, que distingue el suelo de la vegetación y la vegetación caducifolia de la vegetación de coníferas
OLI	3	Verde	0.53 - 0.59	30	Destaca los picos de máxima vegetación, que son útiles para evaluar el vigor de las plantas
OLI	4	Roja	0.63 - 0.67	30	Distingue las laderas de vegetación
OLI	5	Infrarrojo Cercano (NIR)	0.85 - 0.88	30	Destaca el contenido de biomasa y las costas
OLI	6	Infrarrojo de Onda Corta 1 (SWIR 1)	1.57 - 1.65	30	Distingue la humedad del suelo y de la vegetación; penetra a través de nubes finas
OLI	7	Infrarrojo de Onda Corta 2 (SWIR 2)	2.11 - 2.29	30	Mejora de la lectura de la humedad del suelo y la vegetación y la penetración a través de nubes finas
OLI	8	Pancromática (Pan)	0.50 - 0.68	15	Resolución de 15 metros, definición de imagen más nítida
OLI	9	Cirros (Cirrus)	1.36 - 1.38	30	Mejor detección de la contaminación en cirros
TIRS	10	Sensor Térmico Infrarrojo 1 (TIRS 1)	10.60 - 11.19	30 (100)	Resolución de 100 metros, mapeo térmico y humedad estimada del suelo
TIRS	11	Sensor Térmico Infrarrojo 2 (TIRS 2)	11.50 - 12.51	30 (100)	Resolución de 100 metros, mapeo térmico y humedad estimada del suelo

Las imágenes Landsat 8 obtenidas por el sensor (OLI) y (TIRS) constan de nueve bandas espectrales, con una resolución espacial de 30 metros, para las bandas de 1 a 7 y 9. Una banda nueva (1) (azul profundo) es útil, para estudios costeros y aerosoles. La nueva banda (9) es útil, para la detección de cirrus. La resolución para la banda 8 (pancromática) es de 15 metros. Dos bandas térmicas 10 y 11 son útiles, para proporcionar temperaturas, más precisas de la superficie y se toman a 100 metros de resolución.

ANEXO B
MAPAS ELABORADOS

ANEXO C
FOTOGRAFÍAS DE LA RESERVA FLORA Y
FAUNA TARIQUIA

GPS



Con ayuda de un GPS, se identificó la ubicación mediante coordenadas, en distintos lugares, dentro de la reserva nacional flora y fauna Tariquía.

PAISAJES EN LA RESERVA NACIONAL FLORA Y FAUNA TARIQUIA



TALA DE ARBOLES MADERABLES EN LA RNFFT



Como se observa en la fotografía anterior, debido a la tala indiscriminada que existe dentro de la reserva, existe deterioro considerable de la composición y estructura del bosque.

GANADO A CAMPO ABIERTO O EXTENSIVO



La ganadería a Campo abierto, afecta a la cobertura vegetación, por el pisoteo y posteriormente, tienden a desaparecer.

AGRICULTURA MEDIANTE SIEMBRA TRADICIONAL DE MAIZ



El inadecuado manejo de la agricultura, genera chaqueos descontrolados, eliminando la cobertura vegetal natural y de la biodiversidad dentro de la reserva.